# 600 nm以上の長波長の光に応答する 粉末光触媒を基礎とした 人工光合成システム

Artificial photosynthetic system based on powdered photocatalysts responding to visible light with long wavelength

# 山口 友一 Yuichi Yamaguchi

東京理科大学 理学部第一部 応用化学科(講師)

Faculty of Science, Development of Applied Chemistry, Tokyo University of Science (Junior Associate Professor) 東京理科大学 研究推進機構 総合研究院 カーボンバリュー研究拠点

Research Institute for Science and Technology, Carbon Value Research Center, Tokyo University of Science

# 工藤 昭彦 Akihiko Kudo

東京理科大学 理学部第一部 応用化学科(教授)

Faculty of Science, Development of Applied Chemistry, Tokyo University of Science (Professor)

東京理科大学 研究推進機構 総合研究院 カーボンバリュー研究拠点 拠点長

Research Institute for Science and Technology, Carbon Value Research Center, Tokyo University of Science

**KEYWORD** 

人工光合成

光触媒

水分解

長波長応答

## はじめに

01

脱炭素社会の実現には、化石資源依存からの脱却が不可欠で ある。2050年までの温室効果ガス排出ゼロという大きな目標に 向けて、現在、水素が次世代のクリーンエネルギーとして注目を 集めている。クリーンエネルギーとしてのみならず、化学工業に おける基幹物質として欠かすことのできない水素をクリーンな 手法で製造し、その技術を社会実装することが世界規模での課 題である。再生可能エネルギーを利用して水から作り出した水素 をグリーン水素という。近年、実用可能性を秘めているグリーン 水素製造法として、人工光合成である粉末光触媒を用いたソー ラー水分解が注目されている。この反応は太陽光エネルギーを 化学エネルギーに変換・蓄積できるアップヒル反応であり、社会 的のみならず学術的にも大きな意義をもつ(図1)1-3)。最近、信州 大・東京大の堂免らのグループによって、100 m<sup>2</sup>規模の水分解 光触媒パネルを用いたソーラー水分解の実証実験が行われ、世 界的に大きなインパクトを与えている4.5。この技術を社会実装す るためには、更なる高効率な光触媒を開発することが必須であ る。太陽光エネルギーをいかに有効利用できるかが高効率光触 媒開発の鍵となる。ひと昔前では太陽光に5%程度しか含まれな い紫外光に応答する光触媒の開発が主であったが、最近では太 陽光のおよそ半分を占める可視光(400~800 nm)に応答する 光触媒材料が数多く見いだされている。そのなかでも、実用化を 見据えた場合、およそ600 nm以上の光に応答する光触媒を開 発することが望ましい。本稿では、基本的な光触媒の作動原理お よび水分解光触媒システムについて解説した後、近年、われわれ のグループで主に開発された600 nm以上の長波長の光に応答 する光触媒について紹介する。

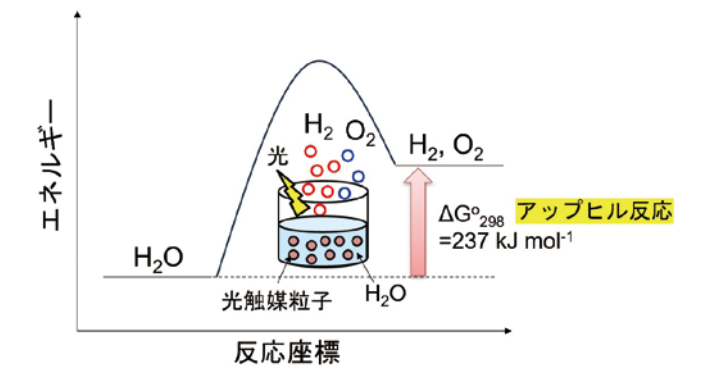


図1 粉末光触媒を用いた水分解反応

## 半導体光触媒の作動原理

-02

光触媒には、金属錯体や色素のような均一系および金属酸化物や金属硫化物のような半導体からなる不均一系が存在する。そのなかでも本稿では不均一系の光触媒について焦点を当てる。半導体光触媒は電子が詰まった軌道からなる価電子帯および電子が空の軌道からなる伝導帯で構成される(図2a)。その価電子帯と伝導帯の間を禁制帯といい、その幅をバンドギャップという。そのバンドギャップよりも大きい光エネルギーが光触媒に照射されると価電子帯の電子が伝導帯に励起し、価電子帯に正孔が生じる。そして、その励起電子および正孔が再結合を起こさずに光触媒粒子の表面に到達することによって、還元および酸化反応がそれぞれ起こる。また、光触媒粒子の表面に金属や金属酸化物などの助触媒を担持させることは水の酸化および還元に必要な過電圧を低下させる効果があり、水分解活性がしばしば向上する。

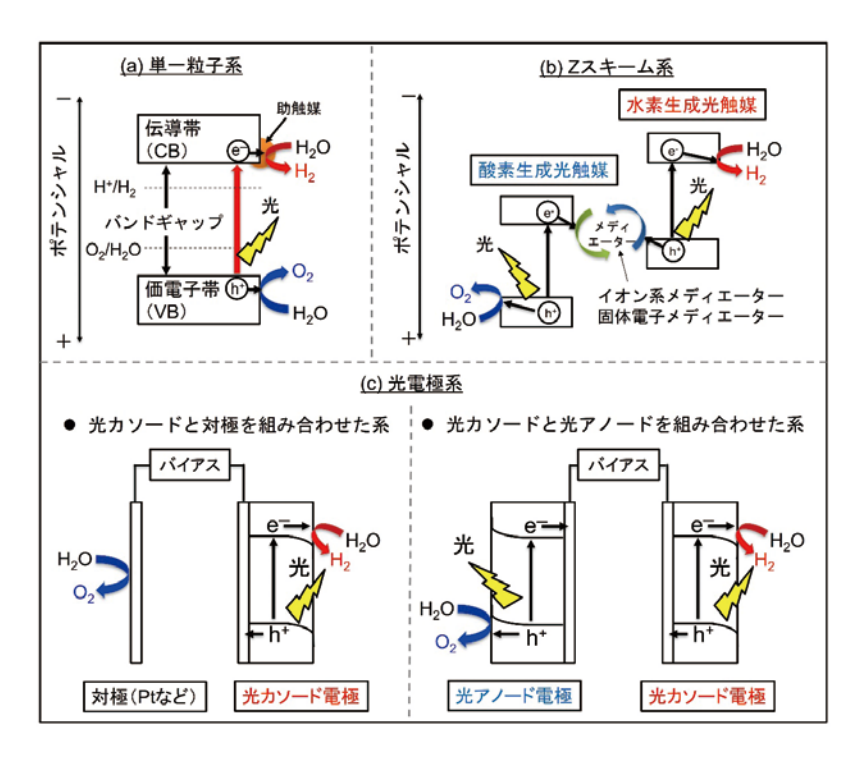


図2 粉末光触媒を用いた種々の人工光合成システム

## 水分解光触媒システム

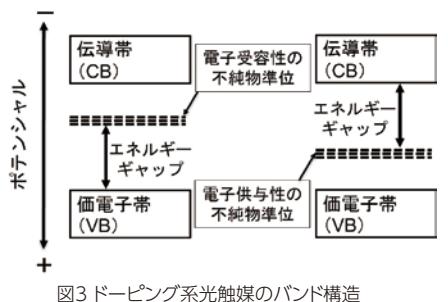
光触媒を用いて水分解反応を進行させるシステムとして、一種 類の光触媒上で水素および酸素を生成するシステムがあり、そ れを単一粒子系という(図2a)。この系では、水を酸化する準位よ りも価電子帯の上端が貴側に位置し、かつ、水を還元する準位よ りも伝導帯の下端が卑側に位置することが熱力学的必要条件と なる。本系において、可視光照射下で水分解反応を進行させるた めにはこの熱力学的条件を満たしつつ、バンドギャップを狭窄化 させる必要がある。そのため、単一粒子系での可視光応答性水 分解光触媒の開発は難易度が高く、その数も少ないのが現状で ある。その他の水分解系として、植物の天然光合成を模した「Zス キーム系」がある(図2b)。この系は水素を生成することができる 光触媒(水素生成光触媒)と酸素を生成することができる光触媒 (酸素生成光触媒)、および電子伝達剤から構成される。電子伝 達剤としては、鉄イオン、コバルト錯体、ヨウ素系イオンなどのイ オン系メディエーター<sup>6-8)</sup>や、還元型酸化グラフェン(RGO)や導 電性高分子ポリ(3.4-エチレンジオキシチオフェン)などの固体電 子メディエーター9-12)が用いられる。単一粒子系とは異なり、水素 もしくは酸素のどちらか片方を生成できる光触媒を組み合わせ ることが可能であるため汎用性が高い。また、粉末光触媒を電極 に固定した光電極を用いた水分解系(光電極系)も存在する(図 2c)。光電極および白金などを用いた電極を導線でつなぎ、その 光電極に対して光を照射することで水分解が進行する。このと き、水分解に必要な印加電圧1.23 Vよりも小さい電圧を印加す

ることが人工光合成型(アップヒル)反応のための条件である。ま た、更なる応用として光電極同士を導線でつないだ光電極系を 構築することが可能であり、両電極に光を照射することで水分解 を進行させることができる。

## 長波長の光に応答する光触媒および それらを用いた水分解光触媒システム

#### 1.遷移金属ドーピング型金属酸化物光触媒

ホスト材料の金属イオンを微量の他の金属イオンと置換する 「ドーピング」は光触媒の可視光応答化の有効な手段である1.2)。 ドーパント由来の不純物準位(電子供与性もしくは電子受容性) が禁制帯内に形成されることで、ホスト材料のバンドギャップより も長波長の光を吸収することが可能となる(図3)13-150。この不純 物準位と伝導帯もしくは価電子帯との間をエネルギーギャップと いう。



RhおよびSbを共ドーピングしたTiO $_2$ (TiO $_2$ :Rh,Sb)は600 nmまでの可視光に応答して酸素を生成できる光触媒である $^{16.17)}$ 。RhおよびSbはそれぞれRh(III)、Sb(V)イオンとしてTi(IV)サイトにドープされている(式1)。Sb(V)イオンによる電荷補償の効果によってRhの酸化数がRh(III)に制御される。Rhを単独ドープしたTiO $_2$ は可視光酸素生成活性を示さない。これはTi(IV)サイトにドーピングされたRhが再結合サイトとして働くRh(IV)イオンとして存在するためである。

また、IrとLaを共ドーピングした $NaTaO_3$  ( $NaTaO_3$ :Ir,La) およびIrとSrを共ドープした $NaNbO_3$  ( $NaNbO_3$ :Ir,Sr) 光触媒はそれぞれ、およそ600 nmおよび620 nmまでの光に応答して水素を生成することができるI80。LaおよびSrはSb同様、Irの酸化数をIr(III) に制御するだけでなく(式2,3)、粒子を微小化させる効果を有する。特に、 $NaTaO_3$ :Ir,La微粒子の表面は特徴的なナノステップ構造を有している。

$$2 \operatorname{Ti}(IV) \stackrel{>}{=} \operatorname{Rh}(III) + \operatorname{Sb}(V)$$
 (1)

$$Na(I) + Ta(V) = Ir(III) + La(III)$$
 (2)

$$2 \text{ Na(I)} + \text{Nb(V)} = 2 \text{ Sr(II)} + \text{Ir(III)}$$
(3)

その他にも、明治大の岩瀬らによって開発されたIr.Sr共ドープ KNbO<sub>3</sub>(KNbO<sub>3</sub>:Ir,Sr)酸素生成光触媒(応答波長:約600 nm) 19) 、Ir,La共ドープBaTa<sub>2</sub>O<sub>6</sub>(BaTa<sub>2</sub>O<sub>6</sub>:Ir,La)水素生成光触媒(応 答波長:640 nm)<sup>20)</sup>、Ru,Sb共ドープSrTiO<sub>3</sub>酸素生成光触媒(応 答波長:670 nm)<sup>21)</sup>、IrドープSrTiO<sub>3</sub>(SrTiO<sub>3</sub>:Ir)水素生成光媒 (応答波長:800 nm)<sup>22)</sup>がある。SrTiO<sub>3</sub>:Irの場合、水素のみなら ず酸素も生成することができ、その応答波長は700 nmである 17)。これら長波長の可視光に応答する光触媒を用いてZスキー ム型可視光水分解系を構築することができる。長波長の可視光 に応答する光触媒からなる種々のZスキーム型可視光水分解系 を図4に示す。イオン系メディエーターを用いた場合、水素およ び酸素生成光触媒から生成した光励起キャリアによるメディエー ターのレドックス反応が起こると同時に水分解が進行する。一方 で電子伝達剤としてRGOを用いた場合、RGOを修飾した酸素生 成光触媒と水素生成光触媒の接触により粒子間の電子伝達が 起こり、それに伴い水分解が進行する。また最近では、可視光水 分解に高い活性を示すIr、Rh、RuおよびCrを微量ドーピングした SrTiO3単一粒子系光触媒の開発にも成功している23-250。これら はおよそ600 nmの光に応答して水を分解できる有望な光触媒 である。

#### 2.価電子帯制御型光触媒

金属酸化物光触媒の価電子帯はO2p軌道によって構成されている。この価電子帯上端は水の酸化の準位よりもかなり深い貴側の位置に存在するため、金属酸化物光触媒のバンドギャップは広くなる傾向にある。したがって、O2p軌道からなる価電子帯よりも卑側に価電子帯を形成する元素を利用することが求められる。Cu(I)、Ag(I)、Sn(II)、Pb(II)、Bi(III)などの金属カチオンはO2p軌道からなる価電子帯上端よりも卑側の位置に価電子帯を

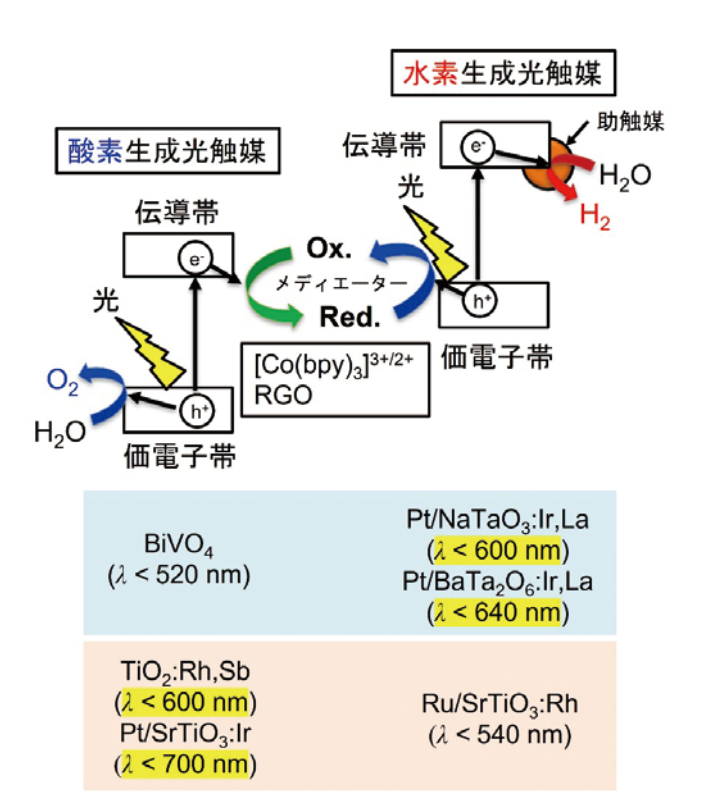
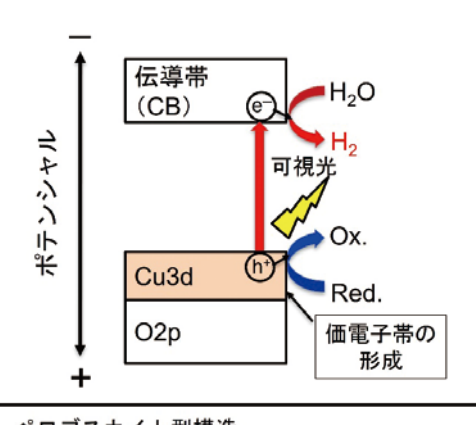


図4 長波長の可視光に応答するドーピング型金属酸化物光触媒を組み合わせたZスキーム型可視光水分解系

形成する。これら金属カチオンのなかでも、特にCu(I)イオンは卑 側の位置に価電子帯を形成する(図5)。ペロブスカイト構造を有 するNaTaO3のNa(I)サイトをCu(I)イオンで一部置換したCu(I)-NaTaO<sub>3</sub>光触媒は620 nmの光に応答して水素を生成する<sup>26)</sup>。ま た、Ruddlesden-Popper型の層状ペロブスカイト型構造を有 するK<sub>2</sub>SrTa<sub>2</sub>O<sub>7</sub>、K<sub>2</sub>SrNb<sub>0.2</sub>Ta<sub>1.8</sub>O<sub>7</sub>およびK<sub>2</sub>La<sub>2</sub>Ti<sub>3</sub>O<sub>10</sub>の層間に 存在するK(I)サイトをCu(I)イオンで置換した光触媒は、それぞれ 600 nm、640 nm、620 nmの光に応答して水素を生成する<sup>26.</sup> <sup>27)</sup>。これら光触媒のCu(I)置換率を比較すると、Cu(I)-NaTaO<sub>3</sub>は およそ9%と低いのに対し、層状構造を有するCu(I)-K<sub>2</sub>SrTa<sub>2</sub>O<sub>7</sub>、  $Cu(I)-K_2SrNb_{0,2}Ta_{1,8}O_7$ および $Cu(I)-K_2La_2Ti_3O_{10}$ はほぼ100% であり、ほぼすべてのK(I)サイトがCu(I)イオンと置換している。 バルキーな結晶構造を有するNaTaO3と異なり、K2SrTa2O7、 K<sub>2</sub>SrNb<sub>0</sub>2Ta<sub>18</sub>O<sub>7</sub>およびK<sub>2</sub>La<sub>2</sub>Ti<sub>3</sub>O<sub>10</sub>は層状構造を有しているた め、層間のアルカリ金属イオンがCu(I)イオンに置換されやすい ユニークな特徴をもつ。

Cl、 $S^2$ および $N^3$ イオンなどのPニオンもO2p軌道から構成される価電子帯よりも卑側の位置に価電子帯を形成する $^8$ .  $^{28}$ )。信州大・東京大の堂免らのグループは酸硫化物や酸窒化物光触媒の開発を精力的に行っている。 $Y_2Ti_2O_5S_2$ はおよそ640 nmという長波長の光に応答して水を分解できる酸硫化物単一粒子系光触媒である $^{29}$ )。通常、Pニオン系の光触媒は光照射によって生じた正孔による自己酸化(自己腐食)を起こしてしまうため、水分解を進行させることが難しい。しかし、適切な水素生成および酸素生成助触媒を担持させることでPニオン系価電子帯制御型光触媒も水分解に活性を示すようになる。 $Y_2Ti_2O_5S_2$ の場合、 $Cr_2O_3/Rh水素生成助触媒<math>^{30}$ および $^{18}CO_2$ 酸素生成助触媒を担持させる



<u>ペロブスカイト型構造</u> Cu(I)-NaTaO<sub>3</sub>(応答波長:620 nm)

Ruddlesden-Popper型層状ペロブスカイト型構造 Cu(I)-K<sub>2</sub>SrTa<sub>2</sub>O<sub>7</sub> (応答波長:600 nm) Cu(I)-K<sub>2</sub>SrNb<sub>0.2</sub>Ta<sub>1.8</sub>O<sub>7</sub> (応答波長:640 nm) Cu(I)-K<sub>2</sub>La<sub>2</sub>Ti<sub>3</sub>O<sub>10</sub> (応答波長:620 nm)

図5 長波長の可視光に応答するCu(I)イオンを含む価電子帯制御型水素生成光触媒

ことで可視光水分解に活性を示す。この光触媒は疑似太陽光照 射下でも水分解活性を示し、その太陽光-水素変換効率はおよそ 0.007%を与える。また、LaMg<sub>1/3</sub>Ta<sub>2/3</sub>O<sub>2</sub>Nは600 nmまでの光 に応答する単一粒子系水分解光触媒である310。RhCrOx助触媒 による水素生成活性点の導入とアモルファスのTiOっによる表面 修飾を施すことが本光触媒の水分解活性発現の鍵である。この とき、TiO。層は水の還元との競争反応である酸素の還元、およ び自己酸化に伴うN₂生成を抑制する効果を発揮する。その他に も650 nmまでの光に応答するBaTaO。N水素生成光触媒は、 Pt助触媒を担持することで高い水素生成能を発現する320。この 光触媒は犠牲試薬を含む水溶液からの水素生成におけるみかけ の量子収率6.8%(@420 nm)を与える。また、産業技術総合研 究所の佐山および三石らのグループによって開発されたCs(I)修 飾WO3酸素生成光触媒<sup>33,34)</sup>およびヨウ素イオンメディエーター をBaTaO<sub>2</sub>Nと組み合わせたZスキーム型ソーラー水分解にお いては、太陽光-水素エネルギー変換効率0.24%という高い値を 示す32)。最近では、合成法の改良やMg(II)イオンのドーピングに よってBaTaO。N単一粒子系光触媒による可視光水分解が達成 されている<sup>35, 36)</sup>。

#### 3.固溶体光触媒

バンドギャップの異なる半導体による固溶体を形成する手法も可視光応答性光触媒を開発する上で有用である。類似した結晶構造をもつ半導体同士を組み合わせると固溶体を形成しやすい。本手法はカルコゲナイド系光触媒に対して多く適用され、固溶させる材料の組成比を変えることでバンド構造を制御することができる。われわれはこれまでに数多くの可視光に応答する金属硫化物光触媒の開発に成功している。この材料群は光照射によって自己酸化(自己腐食)を起こすため、単一粒子での水分解に活性を示さない。一方で、高エネルギーを有する硫化物イオン

や亜硫酸イオンなどの強い還元剤を用いることで自己酸化を防ぐことができる。

われわれのグループによって開発された600 nm以上の長波 長の光に応答する種々の金属硫化物水素生成光触媒について 紹介する(表1)。スタンナイト構造を有するAg2ZnSnS4371および 層状構造を有するCuGa2In3S838とMnGaInS439は、それぞれお よそ620 nm、680 nm、620 nmまでの光に応答して水素を生 成することができる。それら光触媒のみかけの量子収率は、それ ぞれおよそ3%(@約575 nm)、15%(@560 nm)、0.3%(@約 420 nm)を与える。カルコパイライト構造を有するZnS-CuInS2-AgInS<sub>2</sub>((CuAg)<sub>0.15</sub>In<sub>0.3</sub>Zn<sub>1.4</sub>S<sub>2</sub>)固溶体もおよそ600 nmの長波 長の光に応答して水素を生成できる光触媒であり、そのみかけ の量子収率はおよそ7.4%(@520 nm)を与える400。Agもしくは Cuを固溶していないZnS-CuInS₂およびZnS-AgInS₂はそれぞ れ520 nmまでの光しか吸収しないが、Zn、AgおよびCuを固溶 することで600 nm以上の長波長にまで可視光を吸収するよう になる。先に述べたAg<sub>2</sub>ZnSnS<sub>4</sub>と同様のスタンナイト型を有す るCu<sub>2</sub>ZnSnS<sub>4</sub><sup>37)</sup>およびサルバナイト型構造を有するCu<sub>3</sub>VS<sub>4</sub><sup>39,41)</sup> は、800 nmまでの可視光全領域を吸収できる有望な黒色の金 属硫化物水素生成光触媒である。なかでもCu<sub>3</sub>VS4は800 nm までの光に応答して水素を生成することができ、0.7%(@500 nm)のみかけの量子収率を与える。また、Cu<sub>3</sub>NbS<sub>4</sub>との固溶体 を形成することで水素生成活性は大きく向上する410。Cu3VS4-Cu<sub>3</sub>NbS<sub>4</sub>(Cu<sub>3</sub>Nb<sub>0.9</sub>V<sub>0.1</sub>S<sub>4</sub>)固溶体の応答波長は720 nmであり、 Cu<sub>3</sub>VS<sub>4</sub>単体よりも少しばかり短波長化してしまうが、みかけの量 子収率は広範囲の波長においてCu<sub>3</sub>VS<sub>4</sub>単体よりも高く、およそ 520 nmの波長におけるみかけの量子収率はおよそ1.5%であ る。このように、金属硫化物光触媒は長波長の可視光を利用して 水素を生成できる有望な光触媒群である。

表1 長波長の可視光に応答する金属硫化物水素生成光触媒の応答波長およびみかけの量子収率

がりのます状件			
光触媒	応答波長 /nm	みかけの量子収率 % (測定波長/nm)	Ref.
$Ag_2ZnSnS_4$	620	3(約575)	37
CuGa <sub>2</sub> In <sub>3</sub> S <sub>8</sub>	680	15(560)	38
MnGalnS₄	620	0.3(約420)	39
$(CuAg)_{0.15}In_{0.3}Zn_{1.4}S_2$	600	約7.4(520)	40
$Cu_3Nb_{0.9}V_{0.1}S_4$	720	1.5(520)	41
Cu <sub>3</sub> VS <sub>4</sub>	800	0.7(500)	39,41

Cu(I)イオンを含む金属硫化物光触媒の多くはp型特性を示すため、光電極系における光カソードとして用いることができる。 $(CuGa_{1-y}In_y)S_2$ とZnSの固溶体である $Cu_{0.8}Ga_{0.4}In_{0.4}Zn_{0.4}S_2$ は、n型性のCdSで表面修飾することによりp-n接合が形成される。その表面にアモルファスTiO $_2$ 層による修飾を行い、水素生成活性点として働くPt助触媒を担持することにより優れた光カソードを示す。この光カソードはおよそ650 nmまでの光に応答し、光電変換効率はおよそ28%(@570 nm,0 vs RHE)と高い値を示す $^{42}$ 。先に述べた $Cu_3$ V $S_4$ 光触媒も光カソードとして

機能する。粒子転写法により作製したPt担持 $Cu_3VS_4$ 光カソードは、およそ820 nmまでの長波長の光に応答し、13.7%の光電変換効率 (@460 nm,0 vs RHE) を与える $^{43}$ 。また、 $Cu_3VS_4$ に  $Cu_3NbS_4$ を固溶させると光カソード特性も飛躍的に向上する。  $Cu_3Nb_{0.9}V_{0.1}S_4$ 光カソードおよびPt電極からなる光電極系は疑似太陽光照射下において、バイアスを印加した条件ではあるが、ファラデー効率ほば100%で水を分解する $^{41}$ 。

## おわりに

05

人工光合成光触媒によるグリーン水素製造の社会実装は、カーボンニュートラル社会を実現するために不可欠である。本技術を工業化するためには、太陽光を有効利用できる高効率な光触媒を開発することが求められている。本稿で紹介したように、600 nm以上の長波長の可視光を利用できる光触媒が近年になって見いだされていることは大きな進歩である。今後はそれら光触媒の効率を実用化レベルまで上げていくことが重要である。高い量子収率を示す光触媒を開発するためには、活性低下の要因である再結合サイトの少ない高品質な光触媒材料を合成すること、適切な水素および酸素生成活性点の導入や表面改質を行うことが有用である。これまでの数多くの研究者の尽力により見いだされてきた高活性な光触媒開発の有用なストラテジーを最大限に活かし、実用化ラインの太陽光・水素変換効率5%以上を達成できる高活性な光触媒材料が開発されることに期待したい。

### 参考文献

- A. Kudo, H. Kato and I. Tsuji, Chem. Lett., 2004, 33, 1534-1539.
- 2. A. Kudo and Y. Miseki, Chem. Soc. Rev., 2009, 38, 253-278.
- T. Hisatomi, J. Kubota and K. Domen, Chem. Soc. Rev., 2014, 43, 7520-7535.
- 4. Y. Goto, T. Hisatomi, Q. Wang, T. Higashi, K. Ishikiriyama, T. Maeda, Y. Sakata, S. Okunaka, H. Tokudome, M. Katayama, S. Akiyama, H. Nishiyama, Y. Inoue, T. Takewaki, T. Setoyama, T. Minegishi, T. Takata, T. Yamada and K. Domen, Joule, 2018, 2, 509-520.
- H. Nishiyama, T. Yamada, M. Nakabayashi, Y. Maehara, M. Yamaguchi, Y. Kuromiya, Y. Nagatsuma, H. Tokudome, S. Akiyama, T. Watanabe, R. Narushima, S. Okunaka, N. Shibata, T. Takata, T. Hisatomi and K. Domen, Nature, 2021, 598, 304-307.
- Y. Sasaki, A. Iwase, H. Kato and A. Kudo, J. Catal., 2008, 259, 133-137.
- Y. Sasaki, H. Kato and A. Kudo, J. Am. Chem. Soc., 2013, 135, 5441-5449.
- 8. Y. Wang, H. Suzuki, J. Xie, O. Tomita, D. J. Martin, M. Higashi, D. Kong, R. Abe and J. Tang, Chem. Rev., 2018, 118, 5201-5241.
- A. Iwase, Y. H. Ng, Y. Ishiguro, A. Kudo and R. Amal, J. Am. Chem. Soc., 2011, 133, 11054-11057.
- 10. K. Iwashina, A. Iwase, Y. H. Ng, R. Amal and A. Kudo, J. Am. Chem. Soc., 2015, 137, 604-607.
- A. Iwase, S. Yoshino, T. Takayama, Y. H. Ng, R. Amal and A. Kudo, J. Am. Chem. Soc., 2016, 138, 10260-10264.
- 12. 夏目 脩平, 高山 大鑑, 山口 友一, 工藤 昭彦, 第 124 回触媒討論会, 2019, P036.
- 13. R. Konta, T. Ishii, H. Kato and A. Kudo, J. Phys. Chem. B, 2004,

- 108, 8992-8995.
- 14. Y. Shimodaira, H. Kato, H. Kobayashi and A. Kudo, Bull. Chem. Soc. Jpn., 2007, 80, 885-893.
- R. Niishiro, S. Tanaka and A. Kudo, Appl. Catal., B, 2014, 150-151, 187-196.
- R. Niishiro, R. Konta, H. Kato, W.-J. Chun, K. Asakura and A. Kudo, J. Phys. Chem. C, 2007, 111, 17420-17426.
- 17. A. Kudo, S. Yoshino, T. Tsuchiya, Y. Udagawa, Y. Takahashi, M. Yamaguchi, I. Ogasawara, H. Matsumoto and A. Iwase, Faraday Discuss., 2019, 215, 313-328.
- 18. A. Iwase, K. Saito and A. Kudo, Bull. Chem. Soc. Jpn., 2009, 82, 514-518.
- 19. A. Iwase, R. Sakamoto and H. Misono, Chem. Commun., 2022, 58, 12951-12954.
- 20. A. Iwase and A. Kudo, Chem. Commun., 2017, 53, 6156-6159.
- S. Suzuki, A. Iwase and A. Kudo, Catal. Sci. Technol., 2020, 10, 4912-4916.
- 22. S. Suzuki, H. Matsumoto, A. Iwase and A. Kudo, Chem. Commun., 2018, 54, 10606-10609.
- 23. 海谷 恭平, 渡邊 健太, 吉野 隼矢, 山口 友一, 工藤 昭彦, 第126回 触媒討論会, 2020, P058.
- 24. 植木 義也, 川本 寛真, 海谷 恭平, 吉野 隼矢, 山口 友一, 工藤 昭彦, 第 11 回 CSJ 化学フェスタ, 2021, P4-004.
- 25. 山口 友一, 海谷 恭平, 川本 寛真, 植木 義也, 八木橋 克, 工藤 昭彦, 第 42 回光がかかわる触媒化学シンポジウム, 2023, 2C01.
- K. Iwashina, A. Iwase and A. Kudo, Chem. Sci., 2015, 6, 687-692.
- 27. K. Watanabe, K. Iwashina, A. Iwase, S. Nozawa, S.-i. Adachi and A. Kudo, Chem. Mater., 2020, 32, 10524-10537.
- J. Xiao, T. Hisatomi and K. Domen, Acc. Chem. Res., 2023, 56, 878-888.
- 29. Q. Wang, M. Nakabayashi, T. Hisatomi, S. Sun, S. Akiyama, Z. Wang, Z. Pan, X. Xiao, T. Watanabe, T. Yamada, N. Shibata, T. Takata and K. Domen, Nat. Mater., 2019, 18, 827-832.
- K. Maeda, N. Sakamoto, T. Ikeda, H. Ohtsuka, A. Xiong, D. Lu, M. Kanehara, T. Teranishi and K. Domen, Chem. Eur. J., 2010, 16, 7750-7759.
- 31. C. Pan, T. Takata, M. Nakabayashi, T. Matsumoto, N. Shibata, Y. Ikuhara and K. Domen, Angew. Chem. Int. Ed., 2015, 54, 2955-2959.
- 32. Z. Wang, Y. Luo, T. Hisatomi, J. J. M. Vequizo, S. Suzuki, S. Chen, M. Nakabayashi, L. Lin, Z. Pan, N. Kariya, A. Yamakata, N. Shibata, T. Takata, K. Teshima and K. Domen, Nat. Commun., 2021, 12, 1005.
- 33. Y. Miseki, H. Kusama, H. Sugihara and K. Sayama, J. Phys. Chem. Lett., 2010, 1, 1196-1200.
- 34. Y. Miseki, S. Fujiyoshi, T. Gunji and K. Sayama, Catal. Sci. Technol., 2013, 3, 1750-1756.
- H. Li, J. Xiao, J. J. M. Vequizo, T. Hisatomi, M. Nakabayashi, Z. Pan, N. Shibata, A. Yamakata, T. Takata and K. Domen, ACS Catal., 2022, 12, 10179-10185.
- 36. S. Nishimae, J. J. M. Vequizo, Y. Inoue, A. Yamakata, M. Nakabayashi, T. Higashi and K. Domen, J. Mater. Chem. A, 2023, 11, 6299-6310.
- 37. I. Tsuji, Y. Shimodaira, H. Kato, H. Kobayashi and A. Kudo, Chem. Mater., 2010, 22, 1402-1409.
- 38. H. Kaga, K. Saito and A. Kudo, Chem. Commun., 2010, 46, 3779-3781.
- 39. T. Takayama, I. Tsuji, N. Aono, M. Harada, T. Okuda, A. Iwase, H. Kato and A. Kudo, Chem. Lett., 2017, 46, 616-619.
- 40. I. Tsuji, H. Kato and A. Kudo, Angew. Chem. Int. Ed., 2005, 117, 3631-3634.
- S. Ikeda, N. Aono, A. Iwase, H. Kobayashi and A. Kudo, ChemSusChem, 2019, 12, 1977-1983.
- 42. T. Hayashi, R. Niishiro, H. Ishihara, M. Yamaguchi, Q. Jia, Y. Kuang, T. Higashi, A. Iwase, T. Minegishi, T. Yamada, K. Domen and A. Kudo, Sustain. Energy Fuels, 2018, 2, 2016-2024.
- 43. H. Fukai, K. Nagatsuka, Y. Yamaguchi, A. Iwase and A. Kudo, ECS J. Solid State Sci. Technol., 2022, 11, 063002.